

Усупаев Ш.Э.

**ААЛАМ ДҮЙНӨДӨ БАЙЫРКЫ КҮЧТӨРДҮН
КОРПУСКУЛДАН БАШТАП ЖАНА АСМАН ДЕНЕЛЕРДИН
ЖАШООСУН БИРИКТИРГЕН НООСФЕРАЛЫК БИРДИК
ТАЛАА ТЕОРИЯСЫ**

Усупаев Ш.Э.

**НООСФЕРНАЯ ЕДИНАЯ ТЕОРИЯ ПОЛЯ
ПАЛЕОПРОЧНОСТИ ОТ ЖИЗНИ КОРПУСКУЛ
ДО НЕБЕСНЫХ ТЕЛ МИРОЗДАНИЯ**

Sh.E. Usupaev

**NOOSPHERIC UNIFIED THEORY OF THE PALE
STRENGTH FIELD FROM THE LIFE OF THE CORPUSCLE
TO THE HEAVENLY BODIES OF THE UNIVERSE**

УДК: 524: 551.332.53: 546: 530

Макалада Аалам материясынын, Саманчынын жолу галактикасынын, Күн системасынын, Жердин жана планеталардын, корпускулалардын жана Ааламдын элементтеринин компоненттеринин генезисинин заманбап моделдери жөнүндө сөз болот. Бариналдык ааламдын жаңы жана өзгөртүлгөн ноосфералык инженердик-геономикалык карталары-моделдери келтирилген. Ааламдын пайда болушунун графиктери, карталары жана геономикалык моделдери, Күн, планеталар жана Жердеги жана Саманчынын жолу галактикасындагы жашоонун генезисинин пайда болушундагы кагылышуу механизми түзүлгөн. Жердин башка планеталар менен 5 кагылышуусунан турган ноосфералык инженердик геономиянын жана табигый кырсыктар жөнүндө илимдин картасы түзүлдү. Америкалыктардан, Хиггз бозонунан, 4 өз ара аракеттенүү ташуучулардан, 12 элементардык бөлүкчөлөрдөн, 118 гибридик гибридик элементтерден алынган жалтыланган микроэлементтин классификациялык картасынын модели иштелип чыккан. Химиялык элементтер биринчи жолу жарык жана оор жылдыздар менен суперновалардын жарылуучу жана шок кагылышууларынын толкундарынын энергетикалык геономикалык моделдеринин тыгыздыгын бөлүштүрүүдө мезгил-мезгили менен квазиметриялык мыйзам ченемдүүлүктөрү түрүндө берилген. Сунуш кылынган Ааламдын жана анын суб-бөлүктөрүнүн бирдиктүү талаа концепциясын колдонуунун негизинде 4, 3 жана 2 физикалык талааларды унификациялоо жолу менен амерлердин, электрондордун, протондордун, атомдордун ядролорунун жана химиялык элементтердин ар кандай элементардык бөлүктөрүнүн энергетикалык талааларын терең унификациялоонун геономиялык моделдери келтирилген.

Негизги сөздөр: ноосфера, инженердик геономия, чоң жарылуу, амера, эфир, корпускул, протон, электрон, глюон, Аалам.

В статье рассмотрены современные модели генезиса компонент материи Вселенной, галактики Млечный путь,

Солнечной системы, Земли и планет, корпускул и элементов Мироздания. Приведены новые и модифицированные ноосферные инженерно-геономические карты-модели барионной Вселенной. Составлены графики, карты и геоном-модели формирования Вселенной, механизм ударного столкновения в образовании Солнца, планет и генезиса жизни на Земле и в галактике Млечный путь. Составлена карта ноосферной инженерной геономии и катастрофологии 5 столкновений Земли с другими планетами. Разработана классификационная карта-модель обобщенного микромира от амеры, бозона Хиггса, 4 переносчиков взаимодействий 12 элементарных частиц, 118 гибридных по происхождению химических элементов. Впервые химические элементы представлены в виде периодических и квазиметрических закономерностей распределения плотностей и энергетических геоном-моделей волн взрывного и ударного столкновения легких и тяжелых звезд и сверхновых. Приведены геоном-модели глубинного объединения энергетических полей различных элементарных частиц амеров, электронов, протонов, ядер атомов и химических элементов объединением 4-х, 3-х, и 2-х физических полей на основе использования предлагаемой концепции Единого поля палеопрочности материи Мироздания и его субчастей.

Ключевые слова: ноосфера, инженерная геономия, большой взрыв, амера, эфир, корпускула, протон, электрон, глюон, Вселенная.

The article deals with modern models of the genesis of the components of the matter of the Universe, the Milky Way galaxy, the Solar system, the Earth and planets, corpuscles and elements of the Universe. New and modified noospheric engineering-geonomic maps-models of the baryonic universe are presented. Graphs, maps and geonomic models of the formation of the Universe, the mechanism of impact collision in the formation of the Sun, planets and the genesis of life on Earth and in the Milky Way galaxy have been compiled. A map of noospheric engineering geonomy and disaster science of 5 collisions of the Earth with other planets has been compiled. A classification map-model of a generalized microworld from amera, Higgs boson, 4

carriers of interactions, 12 elementary particles, 118 chemical elements hybrid in origin has been developed. For the first time, chemical elements are presented in the form of periodic and quasi-symmetric regularities in the distribution of density and energy geonomic models of waves of explosive and shock collisions of light and heavy stars and supernovae. Geonomic models of deep unification of energy fields of various elementary particles of amers, electrons, protons, nuclei of atoms and chemical elements by combining 4, 3, and 2 physical fields based on the use of the proposed concept of the Unified field of palestability of matter of the Universe and its sub-parts are presented.

Key words: *noospheric, engineering geonomy, big bang, amera, ether, corpuscle, proton, electron, gluon, Universe.*

Введение. Наша планета и вся Солнечная система постоянно получают из галактического пространства материальные тела. В своей научной работе геолог часто забывает, что он имеет дело не просто с Землей, а с одной из земных планет Солнечной системы, писал Вернадский В.И., профессор Томского университета Мартыянова Н.Е. научно определила, что «астрономия – это геология в пространстве, а геология – астрономия во времени». По исследованиям Круть И.В. в синтезе к Единой науке о Земле в 1904 году предложил Грот Н.Я. геонию, как центральную науку в естествознании с ее Общей Теорией Земли [5, 12-14].

Академик Сергеев Е.М и инженер-геолог Друян В.А. в книге «Человек и окружающая среда» в 1986 г. верхние горизонты литосферы охарактеризовали как основание, часть сферы разума, а инженерную геологию окружающей среды, геологией ноосферы – сферы разума [10, 11-14].

Ноосферная инженерная геония (далее-НИГ) изучает закономерности формирования, трансформации и круговорота георисков, особенности геодинамических, гравиинертных и конвективных движений полигрунтов в планетосферах, сопряженных с образованием полезных ископаемых, для обеспечения необходимыми ресурсами и безопасного сосуществования цивилизации с окружающей Вселенной и ее субчастей в Млечном пути, Солнечной системе, и изначально гидридной и гибридной Земле [4, 11-14].

Методика и методология. В работе использованы классические методы катастрофоведения, наук о Земле, науковедения, методологии ноосферной

инженерной геонии, естествознания и разработанные методы Единой теории поля палеопрочности материи [1-15].

Результаты исследований. Мироздание представлено по иерархии многочисленными моделями Вселенных и их субчастей, где определяется связь между компонентами: 1. пространства, 2. времени, 3. материи, 4. гравитации, 5. космологии, 6. вакуума. Видимый и исследуемый мир Вселенной представлен барионной материей с иерархической их соорганизованностью от корпускул амеры в эфирном поле, 12 элементарных частиц, бозонами Хиггса, протонами, электронами и позитронами, нейтронами, химическими элементами, молекулами – полиэрами (надатомно-блочными структурами) – 32 классами кристаллов (218 гомологичные классы кристаллов минералов), около 3000 минералов – горными породами, формациями, 12 литосферными плиты, слоистыми планетосферами, небесными телами, звездами, галактиками, Вселенными [1-14].

Вводится понятие Единого поля палеопрочности материи (далее $P_{\text{пн}}$), наряду с известными физическими, для оценки устойчивости, податливости, деформационных свойств и трансформационных состояний материи от амер, элементарных частиц, атомов, надатомных блочных структур, кристаллов, минералов, горных пород, формаций, планетосфер, до прочности Земли и небесных тел Мира, Вселенных и в целом Мироздания [11-14].

По $P_{\text{пн}}$ в Мироздании 19-20 млрд. лет тому назад до БВ-большого взрыва, происходил процесс всестороннего сжатия материи в суперплотное и сверх взрывоопасное состояние [1, 3, 13-14].

На рисунке 1 представлены составленные 3 типа материального состава геном-моделей Вселенной Мироздания: А-три модификации распределения количества: 1- барионной материи; 2-темной материи; 3-темной энергии; В-две модификации распределения количества: 1-барионной материи; 2+3 темной материи и энергии; С – одной модификации распределения количества; 1-барионной материи; 2+3 темной материи и энергии. Из закона больших чисел Дирака во Вселенной число барионов $A=10^{80}$, масса $M=2 \cdot 10^{56}$ г., число звезд в мире $N_0=10^{23}$.

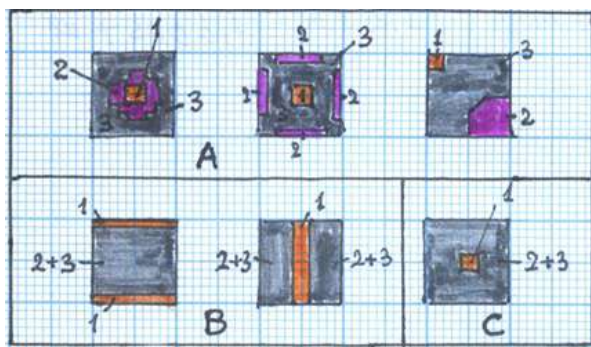


Рис. 1. Модели Вселенной Мироздания.

На всех 6-ти модификациях состава Вселенной количество материи, видимой барионной варьирует от 4,6% А-1-3 и С; до 20% В 1-2; а количество темной материи от 15% В 1-2 и до 23,3% А 1-3, а также темной энергии от 65% до 72,1%. Вселенная содержит 500 млрд. галактик и 10^{87} элементарных частиц (фотоны, нейтрино, нуклоны, электроны), масса которых 10^{56} кг, а средняя плотность 10^{-27} кг/м³. Темная энергия отталкивает гравитацию барионной материи. При равномерном распределении материи в объеме пространства, плотность равна 6 атомам водорода на 1 м³. Темная энергия, ответственна за ускоренное расширение Вселенной [1, 3, 14].

Единая теория палепрочности материи, изучает с ноосферных инженерно-геономических и катастрофоведческих позиций и подходов материю, которая изначально формируется в пространстве и времени вследствие существования наряду с известными физическими полями их интегрального проявления

приводящего к образованию материальных корпускул и тел способных с момента их проявления длиться и составлять полифазные вещества различных рангов и уровней соорганизации, которые в процессе движения и развития сохраняют первичную палеопрочность приобретенную вследствие эволюционного и/или катастрофического преобразования в процессах трансформации их компонент и полигрантов в круговороте вещества во Вселенной Мироздания [4, 12-14].

В целях ноосферного инженерно-геономического обоснования $P_{\text{пп}}$, населенной нами Вселенной были использованы следующие данные: 1. карта микроволнового излучения, построенная WMAP; 2. карта видимой части Вселенной; 3. Рентгеновский снимок Вселенной; 4. карта поляризации реликтового излучения по данным WMAP. На основе объединения карт-моделей составлена новая комплексная карта модель $P_{\text{пп}}$, (рис. 3) [1, 3-4, 14].

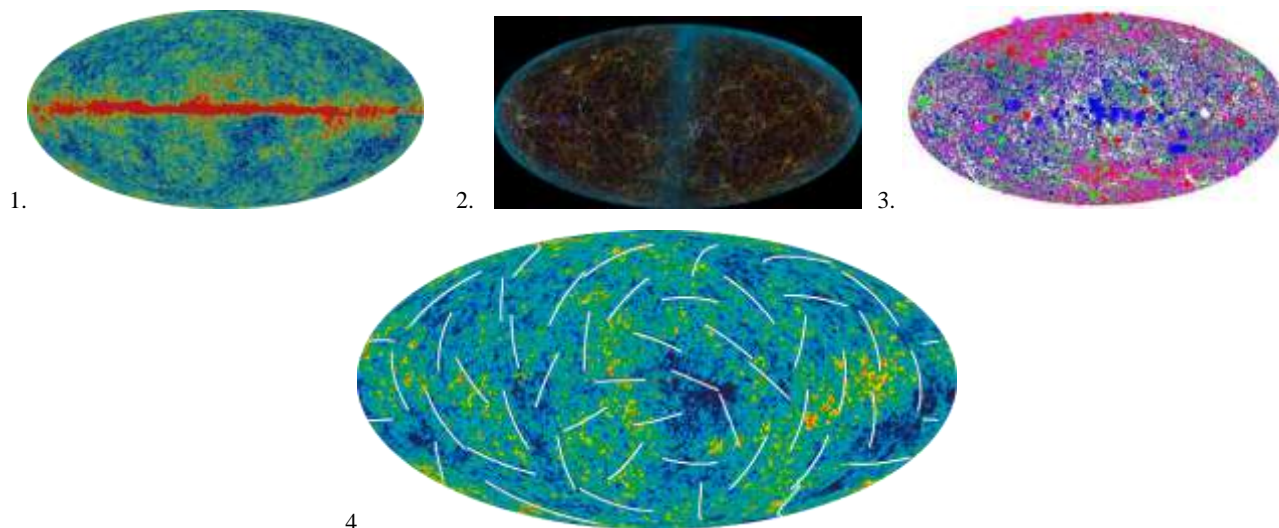


Рис. 2. Аналитические и тематические карты-модели барионной Вселенной.

На составленную впервые (рис. 3) карту модель $P_{\text{ин}}$, были дополнительно вынесены аналитические и тематические данные из: 1. карты дипольной анизотропии реликтового излучения (горизонтальная полоса – засветка от галактики Млечный Путь), а красные цвета означают более горячие области, и синие цвета – более холодные области (спутник WMAP). 2. карта

цветных рентген-снимков ускорения и распада материи, нагретой до сверхвысоких температур, обжигающего газа, черных дыр и взрывов звезд, где по центру проходит из-за поглощения части рентгеновских лучей темной полоской плоскость Млечного Пути. Снимки получены с помощью аппарата eRosita установленного на "Спектре-РГ"[3, 14].

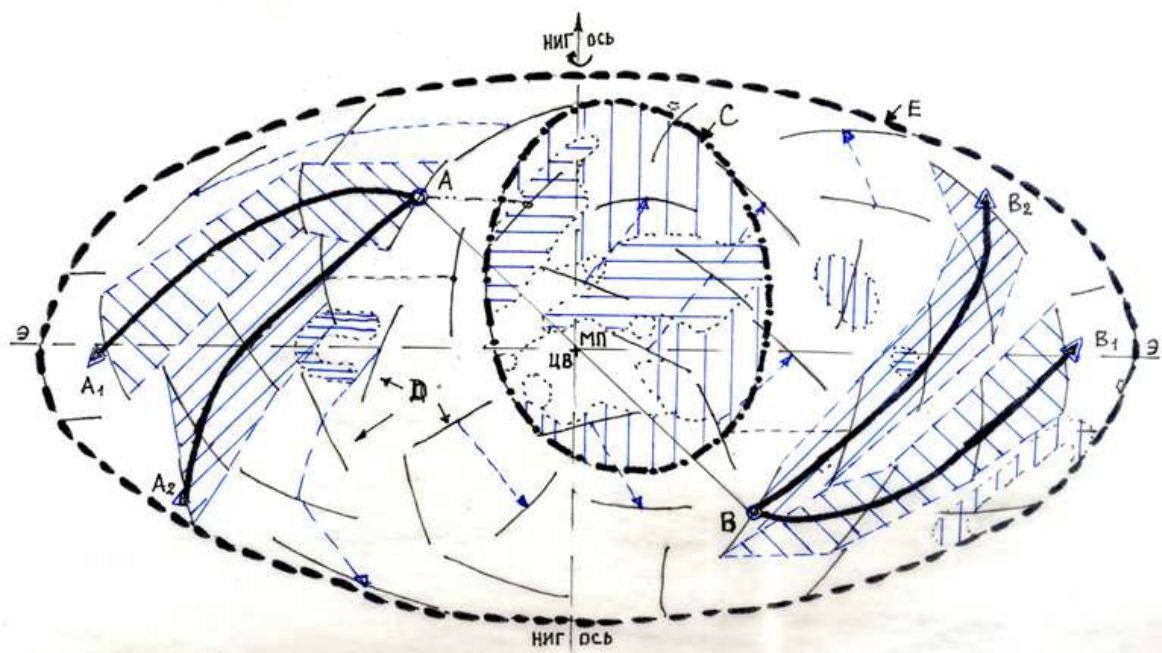


Рис. 3. Ноосферная инженерно-геономическая карта-модель строения Вселенной состоящей из 2-ух рукавов и центрального овального круга: НИГ ось – ноосферная инженерно-геономическая ось с вращением по часовой стрелке Вселенной, ЦВ – центр Вселенной, МП-галактика Млечный путь, С – сфера высокой светимости, А центр (A₁ и A₂) северо-полушарный двойной рукав; В центр и (B₁ B₂) южно-полушарный два рукава Вселенной; D – линии изгибов поляризации реликтового излучения; Э – экватор Вселенной, Е – границы видимой барионной Вселенной.

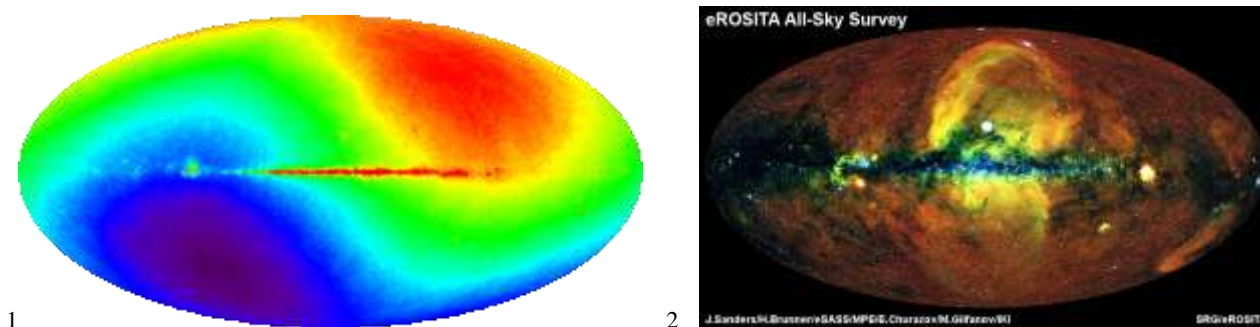


Рис. 4. Аналитические и тематические карты-модели барионной Вселенной.

На основе интегрирования выше приведенных 5 карт – моделей Вселенной составлена была новая более комплексная ноосферная карта инженерной геонимии Вселенной (рис. 5).

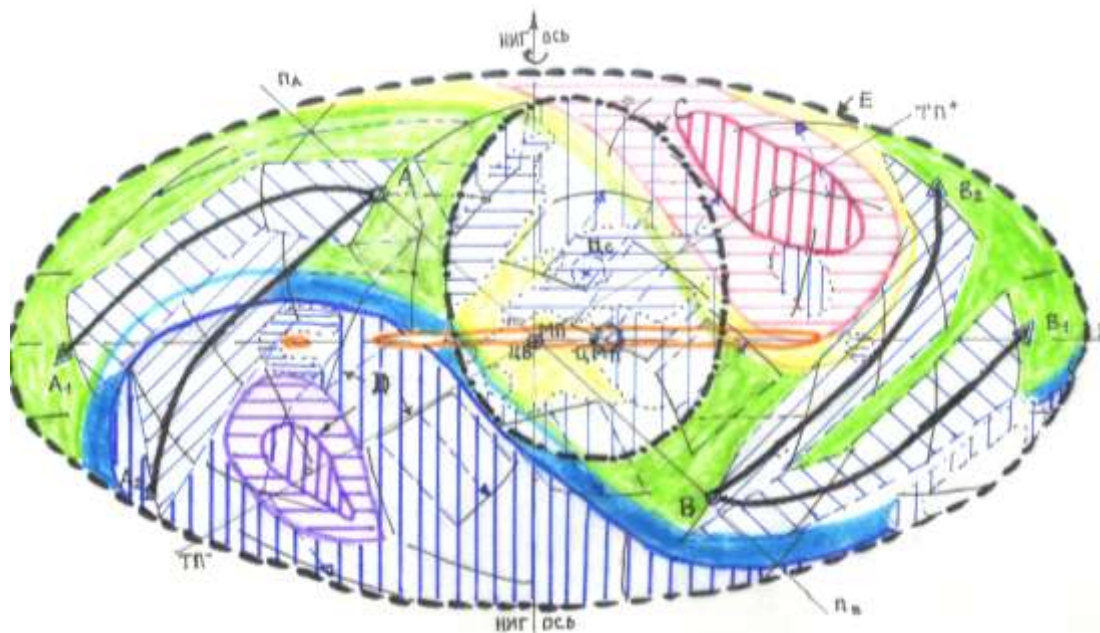


Рис. 5. Ноосферная инженерно-геонимическая карта-модель строения Вселенной состоящей из 2-ух рукавов и центрального овального круга: ЦМП – центр галактики Млечный путь, ПА ось соединяющая центры рукавов А и В Вселенной; ТП⁺ и ТП⁻ ось температурных тепловых полюсов Вселенной; оранжевым цветом на экваторе карты-модели выделен Млечный путь. Остальные условные знаки приведены на рисунке 3.

С позиций $P_{ин}$ в Мироздании 18,4 млрд. лет произошел БВ. Сформировались в эфирном пространстве корпускулы амеры, которые на 74 % составляют зародыш Вселенной. Радиус амеры из сжатого вихревым кольцом элемента эфира 10^{-19} м., масса 10^{-39} кг при плотности протона $2,63 \cdot 10^{17}$ кг/м³. Самыми устойчивыми элементарными частицами являются сгустки эфира. После 0,01 сек от БВ температура Вселенной в миллиарды градусов по Цельсию, плотность в триллионы раз плотнее воды, огромное давление, где нет условий для жизни ядра атома. В эфире образуются 3 формы движения: а. диффузионное; б. поступательное; в. вращательное. Через несколько минут от БВ во Вселенной, проявились 3 пространства: а. амеры в эфире; б. протоны в космосе; в. черные дыры массой в 22 Солнца при взрыве сверхновых звезд [1, 3, 14].

Градиент плотности эфира формирует поле тяготения. Через миллионы лет от снижения температуры ниже 3000°C появляются ядра атомов, протоны и электроны впервые образуют химические элементы. Через миллиарды лет от БВ, из химических элементов

в Едином поле палеопрочности материи, образуются галактики, звезды и стабильные вещества [1, 3, 14].

В мире используют созданные 6 моделей развития Вселенной: 1. стационарный мир А. Эйнштейна; 2. пульсирующий закрытый мир; 3. открытый мир с неограниченным расширением; 4. модель Г. Леметра, где скорость расширения Вселенной уменьшается до критического предела, затем вновь увеличивается; 5. модель мира, где скорость расширения Вселенной постепенно уменьшается не пересекая определенного предела; 6. модель Мира, где первоначально Вселенная сжимается, а затем происходит расширение [1, 3, 14].

На рисунке 6 известные указанные выше модели образования Вселенной обозначенные цифрами 1-6, которые дополнены 9 новыми их модификациями цифрами 7-15, которые объединены в комплексную.

Вселенная изменит знак движения от расширения к сжатию по теории относительности через 40 млрд. лет, а через 100 млрд. лет сжата в точку.

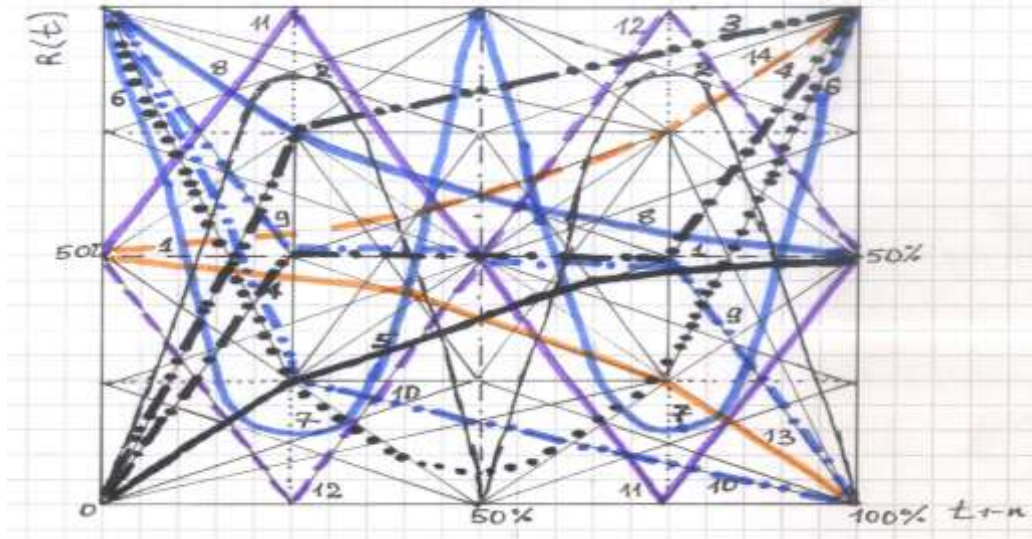


Рис. 6. Ноосферные инженерно-геономические и катастрофоведческие тематические и комплексные модели генезиса Вселенных Мироздания.

На рисунке 7 представлена разработанная графо-аналитическая зависимость между частотами реакций нуклеосинтеза и рубежами времени от Большого

взрыва до ударных столкновения метagalлактик, звезд, планет Солнечной системы и Земли по Единой теории поля палеопрочности материи.

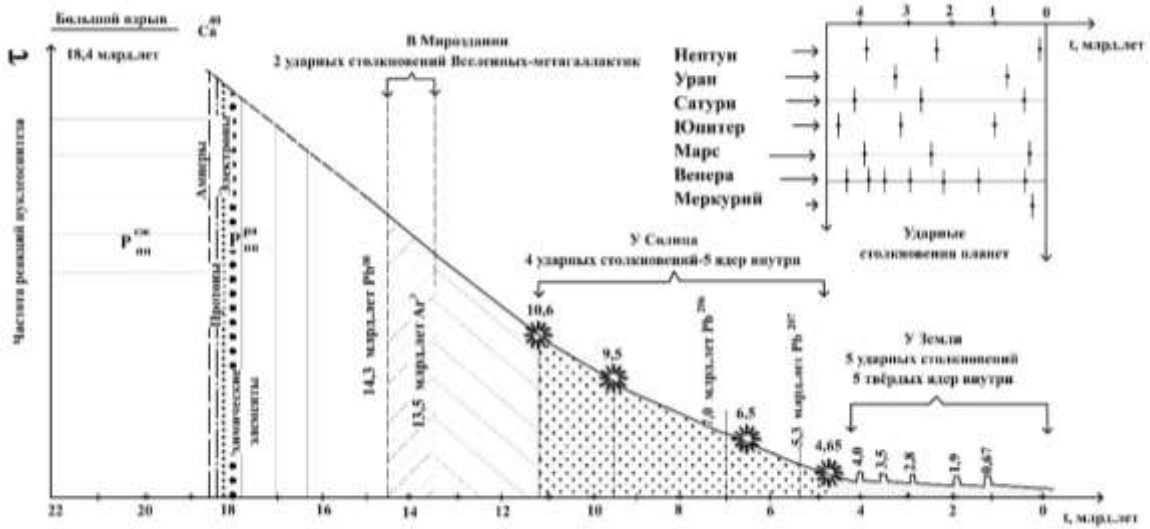
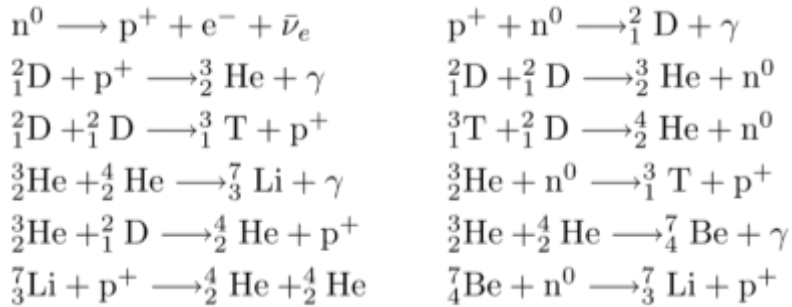


Рис. 7. График зависимости частоты реакций нуклеосинтеза с рубежами времени от Большого взрыва и ударных столкновений метagalлактик, звезд, планет Солнечной системы, небесных тел и Земли в Мироздании.

Таблица формул основных реакций нуклеосинтеза от БВ взрыва (рис. 7).



На рисунке 8 приведена карта-модель «цивилизаций» в иерархии строения галактики Млечный путь, который показывает распределение поля палеопрочности удерживающий как единое и взаимосвязанное летящие в движении объекты Вселенной.

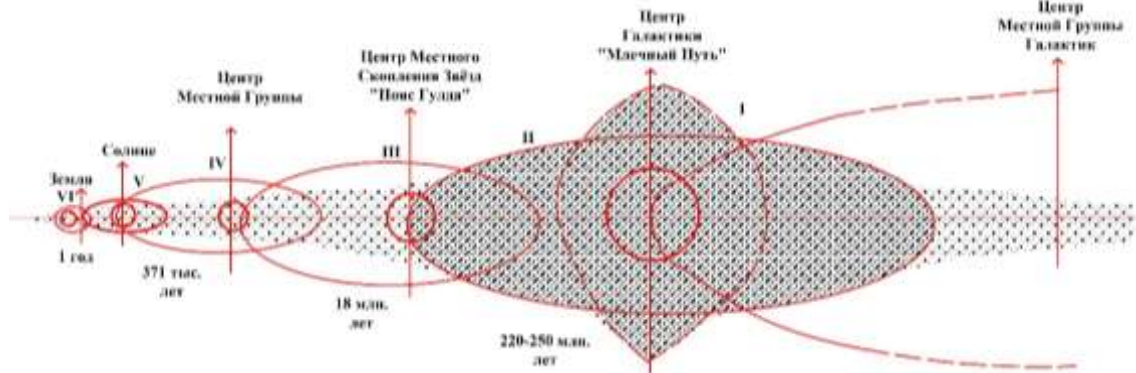


Рис. 8. НИГ модель иерархии строения и структуры Единого поля палеопрочности Земли, Солнца и небесных тел на примере категорий концентрации звезд в форме цивилизаций в Млечном пути.

В P_{III} , в галактике Млечный путь имеет место иерархия соподчиненных «центров цивилизации», где Солнце относится к V-ой, а Земля к VI-ой их категориям (рис. 8). На карте рукаве галактики Млечный путь приведены возраста 4-ех ударных столкновений изначальной звезды с подобными светилами,

сформировавшими Солнце: 1. 10,6 млрд. лет; 2. 9,5 млрд. лет; 3. 6,5 млрд. лет; 4,65 млрд. лет тому назад. Впервые нанесены координаты прогноза населения жизни гомологичной Земной в пределах, равноотстоящих от ядра Млечного пути 3-х (А, В, С) рукавах галактики.

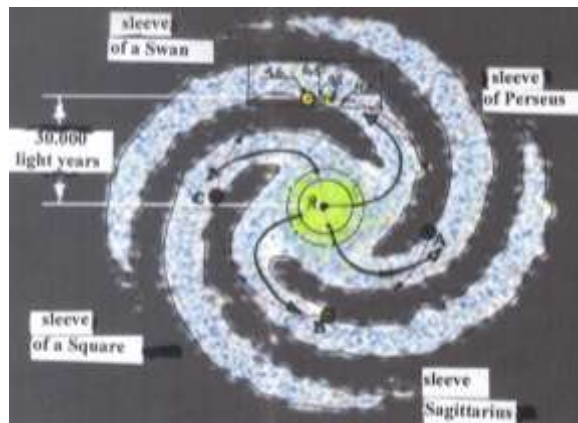


Рис. 9. НИГ карта-модель 4 кратного ударного столкновения палео Солнца с подобными небесными телами и прогноза жизни на 3-х рукавах Млечного пути на равном расстоянии от ядра галактики.

В $R_{\text{пл}}$ представлены фотодокументы Солнца, состоящего из ряда плазменных шаров, входящих друг в друга, которые в рентгеновских лучах имеют несколько центров с высокой светимостью, т.е. сформировано вследствие ударного 4-х кратного столкновения с подобными небесными телами. По данным возраста метеоритов углистых хондритов время ударных столкновений палео-Солнца с подобными звездами составляют: а. около 10,6 млрд. лет, б. 9,5 млрд. лет, в. 6,5 млрд. лет и 4,6 млрд лет тому назад, и Солнце имеет внутри 4 твердо-плазменных ядра, где вокруг наиболее крупного вращаются 4 более легких ядра [4, 12-14].

Единое поле палеопрочности ($P_{\text{пл}}$), в пространстве и времени проявляет сгустки поля в виде вещества обладающего деформационными и трансформационными свойствами, напряженным состоянием, а электромагнитные и гравитационные силы позволяют вращаться элементарным и небесным телам в поле палеопрочности материи вокруг их центра как единое целое [1, 3, 14].

На рис. 10 вокруг твердого центрального ядра Солнца, орбитально кружатся 4 твердые ядра иных звезд, ударно столкнувшихся с палео-Солнцем, которые в рентгеновских, магнитных и световых излучениях проявляются в виде шаровых плазменных свечений и выбросов материи [4, 13-14].

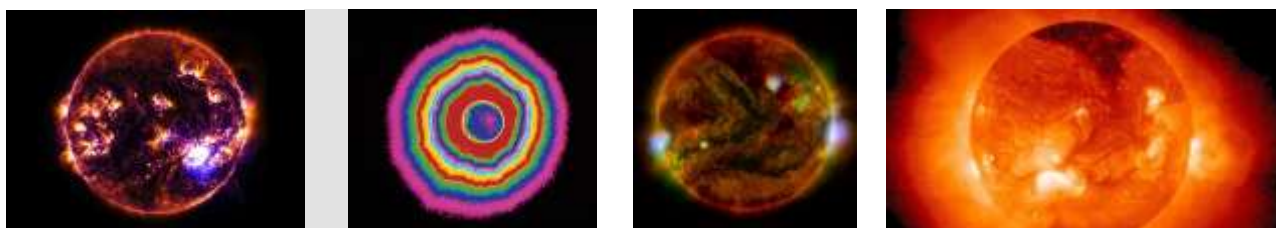


Рис. 10. Солнце на рентгеновском снимке (1), яркости короны при Солнечном затмении (2), рентгеновском спектре (3), глобальном магнитном поле (4) проявляется анизотропией, указывающей на наличие плазменных шаров выходящих на поверхность от 5 твердых ядер Солнца.

На рисунке 11 приведена модель Солнечной системы, где внутри в разных цветах в кружочках цифрами указаны количества их ударных столкновений, приведших к формированию гибридных Солнца и его планет.

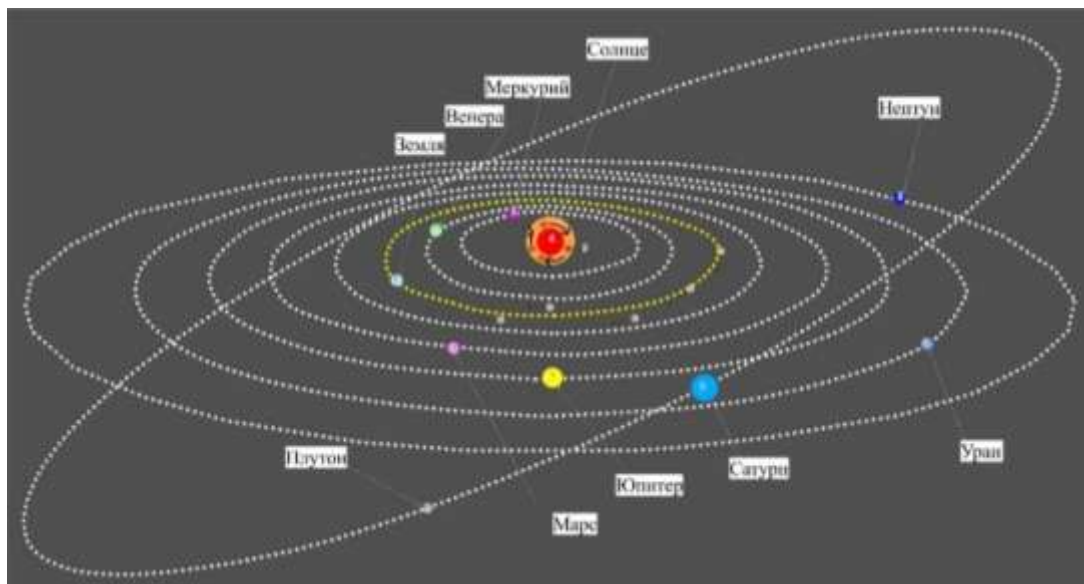


Рис. 11. НИГ модель количества ударных столкновений Солнца и планет гелиосистемы с подобными небесными звездами и телами сформировавших многоядерные внутренние их сферы (цифры внутри Солнца и планет указывают на количество ударно-взрывных столкновений).

НИГ механизм ударного столкновения небесных тел происходит на их пересечении в резонансных орбитах. Земля на карте гравитационного поля тела Геоида имеет 5 крупных аномалий, т.е. внутри имеется 6 твердых ядер. **1-ое** ударное столкновение произошло с внешней от Солнца орбиты в катархее 4 млрд. лет тому назад, с иной планетой холодной и благоприятной для внесения жизни и вес которой составлял 4% от современной массы Земли. **2-ое**, столкновение было в архее 3,5 млрд лет тому назад. Образован был Гренландско-Балтийский щит, масса Земли возросла от 0,08 до 0,15. **3-е** – 2,8 млрд лет тому назад, образовался ископаемый Северный Ледовитый океан. Геоида увеличил вес от 0,15 до 0,30. **4-ое** – 1,9 млрд. лет назад и был образован ископаемый океан Тетис. Масса Земли выросла от 0,30 до 0,60. **5-ое** – ударное

столкновение 0,67 млрд лет назад и образовал современный Тихий океан. Масса Земли скачкообразно выросла от 0,60 до 1,0.

Ядро Земли после **5-го** столкновения было выбито на 500 км от геометрического центра Земли к западной части Тихого океана и расположена в хвостовой части ударной планетоблемы [4, 11-15].

На рисунке 12 приведена составленная впервые «Ноосферная карта инженерной геологии и катастрофологии», где использованы серии разно-тематических карт: а. карта Геоида с координатами расположения 5 палеоследов и их антиподальных центров ударного столкновения в образовании гибридной Земли; б. карта планетарных экваторо- и полюсобежных сколов [4, 11-15].

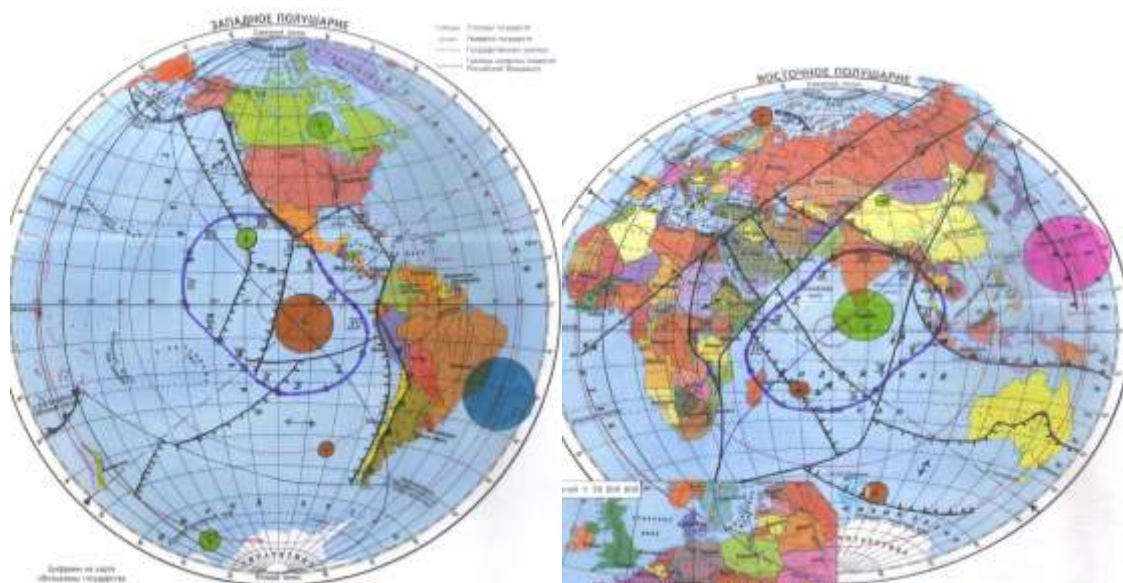


Рис. 12. НИГ катастрофоведческая страновая карта типизации напряженно-деформационных свойств планетосфер Земли, трансформирующихся георисками и орбитальным гравинертным движением и воздействием твердого ядра Земли в Едином поле палеопрочности материи.

В условных обозначениях на карте (рис. 12): а. эпицентр твердого ядра Земли в виде круга закрашен розовым, его гравинертный антиподальный центр круг выделен кругом синего цвета; б. эпицентры пяти твердых ядер Земли от ударных столкновений Геоида с подобными планетами выделены разного размера оранжевыми кругами, а их гравинертные антиподальные центры зелеными кругами; в. сдвиги стрелками вдоль планетарных разломов; г. области растяжений – линиями с перпендикулярным штрихами; д. передние фронты зон сжатия – линиями с черными треугольными зубцами; е. в центре полушарий выделены синим овалом трасса ежегодного орбитального

вращения твердого ядра вокруг геометрического центра выделенного красным по цвету кругом [4, 11-15].

На рисунке 13 приведена Международная геохронологическая шкала с впервые нанесенными рубежи 5-кратного столкновения Земли с инопланетными телами, которые являются истинными возрастными шкалы Геоида. На НИГ шкале указаны времена ударных столкновений, образующих другие планеты Солнечной системы, что приводило к астероидным ударам и кризису жизни на Земле, а также формировали условия для быстрых и медленных оледенений и эпох металлогенических импульсов [4, 15].

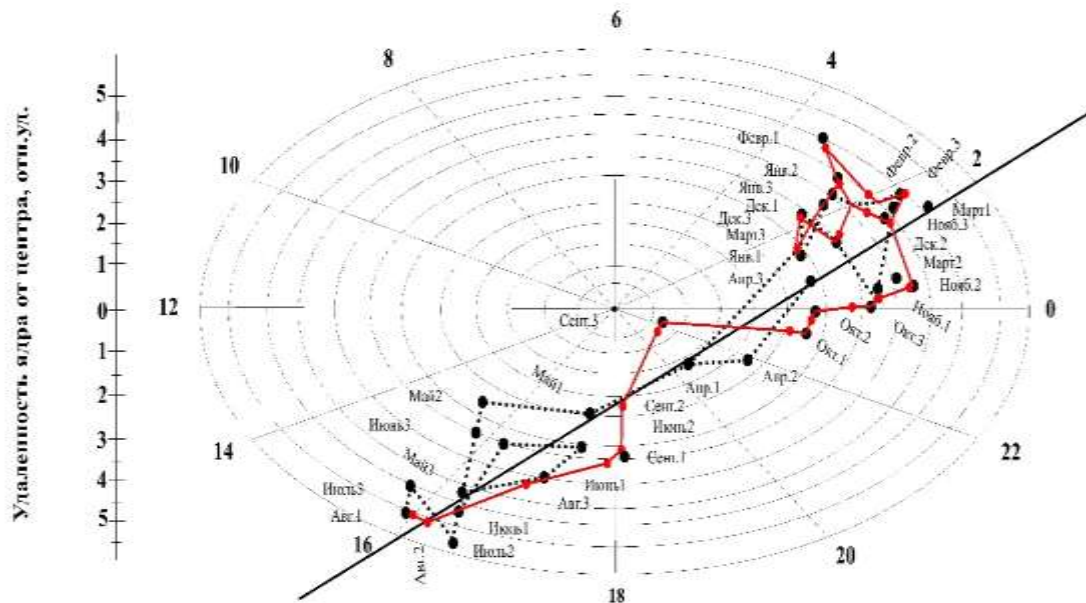


Рис. 14. Инструментально установленный путь ежегодного орбитального движения твердого ядра внутри жидкой планетосферы под углом 45 градусов в эклиптике Солнца как прогноз георисков и сейсмкатастроф на Земле.

Твердое ядро Геоида вращаясь по собственной орбите в декабре месяце поднимается в северное, а в июле месяце опускается в южное полушария планеты, вызывая ритмичность и сезонность в формировании накопления остаточных напряжений и проявления георисков (рис. 14) [4, 11-15].

Наряду с 5-тью ударными по генезису планетоблемами выявлены рубежи ударно столкнувшихся с Землей 48 астероидоблем, обосновывающих новые границы периодов в системе геологического и геонимического времени, а также свидетельствующие о наличии новых районов трансформации георисков палеопрочности компонент полигрантов и установления надежных критериев поиска источников нефтегазород.

Химический состав Вселенной Н–75%, Не–23 %, О–1% и С–0,5%.

На рисунке 15 приведена модель глубины микромира элементарных частиц слагающих химические элементы с позиций Единой физической теории поля, где 1-глубина объединения всех 4-х полей 10^{-36} м; 2-глубина объединения 3-х сил 10^{-30} м; 3-глубина объединения 2-х сил 10^{-19} м; 4-радиус амеры 10^{-28} м; 5-квантовый радиус электрона 10^{-11} м; 6-радиус ядра электрона 10^{-14} м; 7-классический радиус электрона 10^{-16} м; 8-глубина материи с максимально возможной и допустимой массой вещества; 9-глубина радиус протона; 10-радиус водорода; 11-глубина ядра химических элементов; 12-глубина размеров атомов химических элементов.

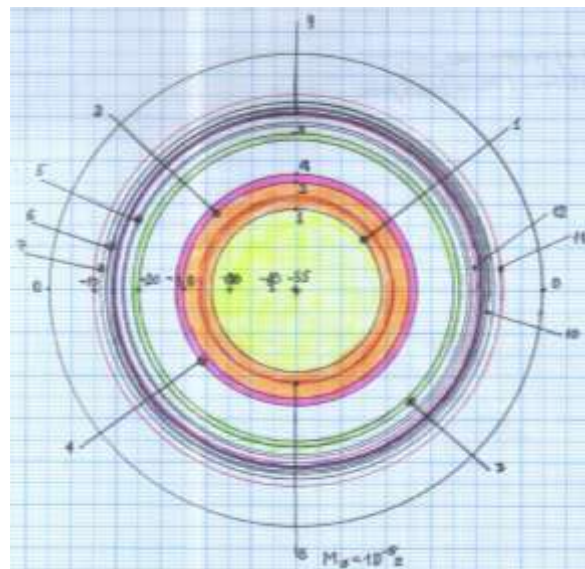


Рис. 15. НИГ модель глубин проникновения материи и рубежи палеопрочности в Единой физической теории поля.

На рисунке 16 приведена разработанная классификационная НИГ карта модель генезиса вещества материи от полей корпускул амеры до химических элементов сформированных различными космическими механизмами воздействия в $P_{\text{пл}}$: где: 1-химические элементы водород и гелий сформированные от Большого Взрыва; 2-элементы литий, бериллий и бор

формируются от воздействия космических лучей; 3- фтор, натрий, магний, фосфор, хлор, аргон, калий, кальций, скандий, хром, марганец, стронций, иттербий, циркон, ниобий, технеций, барий, лантан и церий образованы в результате синтеза внутри тяжелых по массе звезд; 4-углерод, азот, кислород, неон от формирования легких звезд и воздействия тяжелых звезд; 5-алюминий, кремний, титан, ванадий, железо, молибден, рутений, палладий, серебро, кадмий, индий, олово, гафний, тантал, вольфрам, ртуть, таллий, празеодим, неодим, прометий, самарий образованы от воздействия сверхновых взрывов звезд и влияния тяжелых звезд; 6-элементы кобальт, никель, галлий, германий, селен, бром, криптон, рубидий, родий, сурьма, теллур, йод, ксенон, цезий, рений, осмий, иридий, платина, золото, свинец, висмут, полоний, аstat,

радон, франций, радий, европий, гадолиний, тербий, диспрозий, гольмий, эрбий, тулий, лютеций, актиний, торий, протактиний, уран, нептуний, плутоний сформированы вследствие взрывов сверхновых звезд; 7-оставшиеся химические элементы от америция до оганесона получены экспериментально; 8- X_0 и X_2 неизвестные прогнозируемые инертные химические элементы; 9-фотоны и глюоны переносчики взаимодействий в кварках; 10-бозоны Z и W переносчики взаимодействия в лептонах; 11-химические элементы обладающие сверхпроводимостью; 12-радиоактивные химические элементы, 13-металлы; 14-редкие земли, 15-15-неметаллы; 16 ноосферная инженерно-геономическая ось; 17-амеры в эфирном несжимаемом газоподобном поле материи.

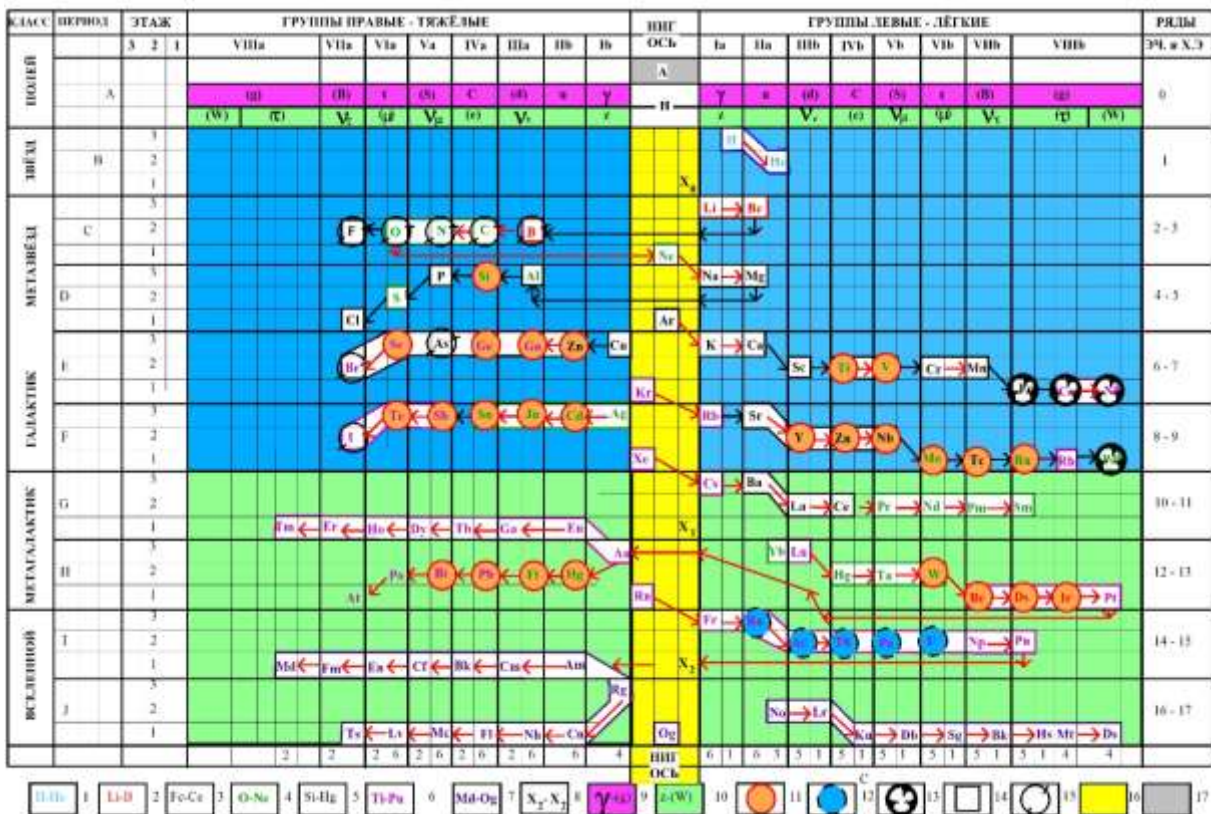


Рис. 16. Классификационная НИГ карта модель генезиса вещества материи от полей корпускул амеры до химических элементов, сформированных различными космическими механизмами воздействия в R_{mn} .

Таким образом таблица Д.И. Менделеева содержит и объединяет в периодах, группах и рядах химические элементы гибридного генезиса, а именно 2- от Большого взрыва, 3-от космических лучей, 5- т легких и тяжелых звезд, 21-от сверхновых и тяжелых звезд,

22-от тяжелых звезд, 40 от сверхновых звезд, 24- экспериментально полученные.

В классификационной НИГ карте-модели (рис. 16) в периоде А и ряде 0 приведены элементарные частицы предшествующие и формирующиеся при

распаде химических элементов, где выделены: закрашены розовым цветом знаки - кварки, это переносчики взаимодействий бозоны (g) – глюон и гамма-фотон, а также кварки u-верхний, (d)-нижний, с-очарованный, (s)-странный, t-истинный, (b)-прелестный. Зеленым цветом закрашены – лептоны, это переносчики взаимодействий Z-бозон и W-бозон, а также лептоны ve-электронное нейтрино, (e)-электрон, ve-мюонное нейтрино, (mu)-мюон, ve-тау тау-нейтрино, (tau)-тау. Кварки-6 и лептон-6, с 4-мя переносчиками взаимодействий объединяет «божественная» частица H – бозон Хиггса. В классификационной НИГ карте инертные химические элементы закрашены в желтый цвет и являются НИГ осью 14-элементарных частиц и 118 химических элементов, А-амеры, а океаны на

карте представленные темной материей и темной энергией закрашены в голубой цвет северное и зеленое южное полушария, где в виде полуостровов и островов расположены классифицированные на 2 группы левые-легкие и правые-тяжелые, 6-классам, по 3 этажам, 8 периодам, 1-17 рядам, элементарные частицы и 118 химических элементов.

На рисунке 17 видно, что приведенные на рисунке 13 химические элементы в зависимости от энергии потенциала ионизации сформировались в виде 2-х квазисимметричных зеркально отраженных геонм-волн, где установлены 6 периодов всплеска энергий взрывов от сжатия и/или ударных столкновений звезд и воздействия сверхновых.

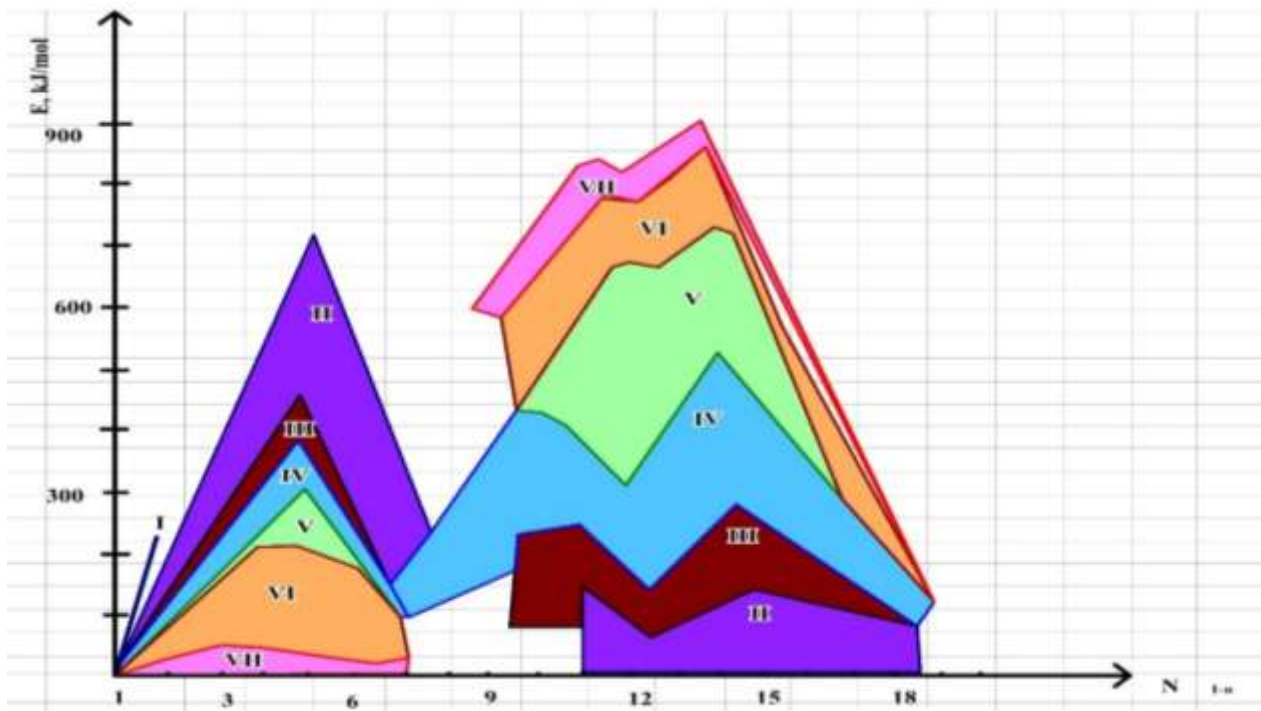


Рис. 17. НИГ волны потенциала ионизации в образовании химических элементов, сформированных различными космическими механизмами воздействия в $P_{ин}$.

На рисунке 18 видно, что формирование приведенных на рисунке 13 химических элементов в зависимости от роста их плотности происходит в виде квазисимметричных 7 геонм-волн, где максимальные плотности приходятся на 6-7 периоды действий сил сжатия вещества и взрывов тяжелых звезд и воздействия сверхновых.

Представленные на рисунках 1-18 взаимосвязанные между собой по механизму взрывного и ударного

столкновений небесные тела, увязаны с элементарными частицами систематизированными в классификационную разного по механизму космического происхождения карту-модель химических элементов свидетельствуют, что образование материи связано как с известными физическими полями, а также предлагаемым интегрирующим Единым полем палеопрочности материи, от микромира корпускул амеры до размеров Вселенных Мироздания.

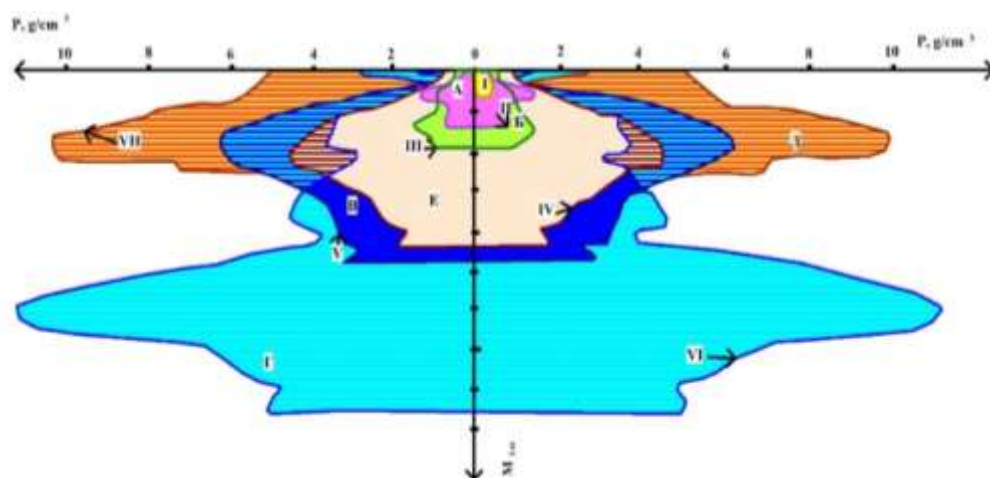


Рис. 18. НИГ волны объемного веса и объемной энергии палеопрочности в образовании химических элементов, сформированных различными космическими механизмами воздействия в P_{III} .

Выводы:

1. Впервые приведены разработанные основы Единого поля палеопрочности материи на иерархических уровнях их соорганизации от вакуума-эфира, через амеры, бозон Хиггса, элементарные частицы, химические элементы, небесные тела, звезды, галактики, видимой Вселенной до в целом Мироздания, в виде ноосферных инженерно-геономических (далее НИГ) классификационных карт и моделей.

2. Построена впервые из множества аналитических и тематических карт-схем новая НИГ карта-модель интегрированного строения Вселенной где выявлены 2 группы спиралей, указывающих на ее вращение по часовой стрелке. При этом в южном полушарии Вселенной сконцентрирован холодный, а в северном полушарии горячая зоны, а на карте дипольной анизотропии реликтового излучения S-образный тепловой пояс в сфере умеренного и благоприятного для зарождения жизни находится центр галактики Млечный путь, который смещен в восточное полушарие от центра видимой Вселенной.

3. На карте оставшихся 3-х спиральных рукавов галактики «Млечный путь» выделены кружочками А, В, С, прогнозные координаты цивилизаций, где высока вероятность нахождения и развития жизни подобной Земной.

4. Мироздание, это пространственная небесная ноосферная инженерная геономия и геология, а геологическое вещество и полигрунты Земли отражение трансформации Вселенных во времени в Едином поле палеопрочности материи.

5. Разработаны НИГ карты и модели, и классификационная карта-таблица элементарных частиц и химических элементов предназначенных для их

использования в ноосферных теоретических и прикладных исследований Мироздания и его субчастей.

Литература:

1. Ацюковский В.А. Общая эфиродинамика. - М.: Энергоатомиздат, 1990. - 280 с.
2. Вернадский В.И. Философские книги натуралиста. Проблема Времени, Пространства и Симметрии. - М.: Наука, 1988. - С. 210-296. - С. 438-448.
3. Долбня Н.В. Разгадка тайн Вселенной. - СПб: Изд-во Супер, 2016. - 360 с.
4. Ачкасов П.В., Усупаев Ш.Э. Гипотеза ударного преобразования планет солнечной системы на примере Земли. // Материалы международной конференции: Подготовка к чрезвычайным ситуациям и реагирование на риски экологической безопасности в Центрально-Азиатском регионе. - Бишкек: Изд-во МЧС КР, 2004. - С. 138-145.
5. Круть И.В. Введение в общую теорию Земли. - М.: Мысль, 1978. - С. 368.
6. Ларин В.Н. Гипотеза изначально гидридной Земли. -М.: Изд-во «Недра», 1980. - С. 216.
7. Малышков Ю.П., Малышков С.Ю. Периодические вариации геофизических полей и сейсмичности, их возможная связь с движением ядра Земли. // Геология и геофизика, 2009. - Т. 50. - №2. - С. 152-172.
8. Мартыанов Н.Е. Размышления о пульсациях Земли. - Красноярск: КНИИГ и МС, 2003. - 272 с
9. Огаджанов В.А. Дилатационная модель земли и геотектоника [Электронный ресурс]. / Вестник Воронежского государственного университета. Серия: Геология. - 2001. - №11. - С. 20. - Режим доступа: [https:// lib.rucont.ru/efd/525648](https://lib.rucont.ru/efd/525648).
10. Сергеев Е.М., Друян В.А. Человек и геологическая среда. - М.: Сов. Россия, 1986. - С. 80.
11. Усупаев Ш.Э. Инженерная геономия – новый путь развития геологии и инженерной геологии. // Мат. 8-ой межреспубликанской научной конференции молодых ученых. - Фрунзе: Изд. «Илим», 1986. - С. 143-147.

12. Усупаев Ш.Э. Инженерно-геономическая гидридно-полярная модель геоида. Теоретический и прикладной научно-технический журнал. Известия КГТУ им. И.Раззакова №33. Материалы международной конференции «Современное состояние и перспективы развития горнодобывающей отрасли» посвященная к 80-летию академика У. Асаналиева. Издательский центр “Техник.” - Бишкек, 2014. - С. 65-71.
13. Усупаев Ш.Э. Единая ноосферно-инженерно-геономическая теория Земли. Научно-теоретический журнал «Наука, новые технологии и инновации Кыргызстана», №11. - 2015. - С. 24-38.
14. Factors of moraine-dammed lake outbursts: non-stationarity of the Tien-Shan lakes in Kyrgyzstan under climate change conditions. В сборнике: Сборник научных трудов Международной молодежной научно-практической конференции. Российский университет дружбы народов. - 2016. - С. 137-140.
15. Усупаев Ш.Э. О Единой теории НИГ поля палео-прочности небесных тел и Земли. Материалы Второго Международного симпозиума, посвященного 75-летию НАН КР. Современные проблемы механики: прогноз и предупреждение горных ударов и землетрясений, мониторинг деформационных процессов в породном массиве. - Бишкек, 2018. - С. 286 – 298.